

## بررسی روابط تکاملی در گندم زراعی و خویشاوندان وحشی آن با استفاده از تحلیل کاریوتایپ

### Evaluation of evolutionary relationships incultivated wheat and its wild relatives (*Aegilops* L. and *Triticum* L.) using karyotype analysis

زینب صفری<sup>۱\*</sup>، علی اشرف مهرابی<sup>۱</sup>

۱- به ترتیب دانش‌آموخته دکتری، دانشیار، اصلاح نباتات، دانشکده کشاورزی، دانشگاه ایلام

Safari Z<sup>\*1</sup>, Mehrabi AA<sup>1</sup>

1- PhD, Associate Professor, Department of Agronomy and Plant Breeding, Faculty  
of Agriculture, Ilam

\* نویسنده مسئول مکاتبات، پست الکترونیکی: zsafari\_89@yahoo.com

(تاریخ دریافت: ۹۸/۰۷/۱۵ - تاریخ پذیرش: ۹۹/۰۹/۱۸)

#### چکیده

در این مطالعه، روابط فیلوژنی و تکاملی بین گونه‌های وحشی و زراعی جنس‌های *Triticum* L. و *Aegilops* L. با استفاده از بررسی کاریوتیپ مورد مطالعه قرار گرفتند. برای هر جمعیت، کاریوتیپ سه سلول متافازی تهیه و صفات کاریوتیپی محاسبه شد. برای تمامی صفات مورد ارزیابی اختلاف معنی‌داری بین گونه‌ها مشاهده شد. گونه‌های *Triticum* L. و *Ae. speltoides* دارای کروموزوم‌های بلندتری نسبت به سایر گونه‌ها بودند. بیش‌ترین مقادیر برای صفت نسبت بازوها و کم‌ترین شاخص سانترومیری به گونه *Ae. umblulata* اختصاص داشت. تجزیه خوشه‌ای گونه‌ها بر اساس صفات کاریوتیپی به خوبی توانست گونه‌های دو جنس *Aegilops* L. و *Triticum* L. را از یکدیگر تفکیک نماید. هر چند که گونه *Ae. speltoides* در کلاستر *Triticum* L. قرار گرفت. گونه‌های مورد بررسی بر اساس ژنوم تشکیل دهنده خود در زیرگروه‌های مختلف تفکیک شدند. بر اساس نتایج تابع تشخیص، جمعیت‌های گونه‌های *Ae. tauschii*، *Ae. umblulata*، *Ae. triuncialis*، *Ae. cylindrica*، *Ae. aestivum* و *T. turgidum* کاملاً تفکیک شدند. به‌طور کلی گونه‌های *Aegilops* کاریوتیپ‌های متکامل‌تری داشتند.

#### واژه‌های کلیدی

تکامل  
کاریوتیپ  
کروموزوم  
*Aegilops*  
*Triticum*

بیانگر وجود تنوع ژنتیکی باشد. بنابراین مطالعات کاربوتایی به منظور طبقه‌بندی گیاهان و کمک به حل مسائل و مشکلات تاکسونومی کلاسیک و تعیین قرابت گونه‌ها خصوصاً گیاهان وحشی و بومی می‌تواند مفید واقع شود به نحوی که به‌عنوان اولین قدم در تجزیه فیلوژنی و تکامل گونه‌های خویشاوند مطرح است (Borem and Fritch-neto 2014).

مطالعات متعددی در زمینه بررسی خصوصیات کاربوتایی گونه‌های گندم و آزیلوپس انجام شده است. Feridooni et al (2017) جمعیت از ۶ گونه دیپلوئید گندم و آزیلوپس را مورد ارزیابی سیتوژنتیکی قرار دادند. جمعیت‌های مورد بررسی دارای کاربوتیپ تقریباً متقارنی بودند. تجزیه خوشه‌ای نتوانست گونه‌های دو جنس *Triticum* و *Aegilops* را کاملاً از یکدیگر تفکیک نماید. تنوع بین گونه‌های بیشتر بر اساس عدم تقارن درون کروموزومی و میزان کروماتین بود. مطالعه کاربوتاییکی *Ae. cylindrica* و *T. monococcum* نشان داد که گونه *T. monococcum* دارای کروموزوم‌های متقارن و *Ae. cylindrica* دارای کروموزوم‌های ساب متاساتریک و ساب تلوساتریک می‌باشد (Ghorbani-Sini and Arzani 2015). Ehtemam et al (2014) گونه‌های گندم دارای ژنوم A را مورد ارزیابی کاربوتایی قرار دادند. گونه‌ها بر اساس دو شاخص A1 و A2 در سه کلاستر طبقه‌بندی شدند. نتایج به‌دست آمده نشان داد که *T. durum* ابتدایی‌تر از *T. turgidum* و *T. monococcum* اهدا کننده‌ی ژنوم A به *T. durum* و *T. aestivum* می‌باشد. در یک مطالعه دیگر، همولوژی کروموزومی بین سه گونه *Aegilops* حامل ژنوم D (*Ae. stragulata* و *Ae. tauschii*) را با گندم نان به‌منظور بررسی امکان انتقال ژن از گونه‌های *Aegilops* به گندم ارزیابی شد. نتایج نشان داد که امکان تهیه هیبریدهای بین این گونه‌ها حداقل با استفاده از تکنیک نجات جنین وجود دارد (Jaffar\_Aghaei et al. 2007). Solouli et al. (2007) تنوع کاربوتایی دو گونه *Ae. stragulata* و *Ae. tauschii* را مورد بررسی قرار دادند. نتایج نشان‌دهنده عدم تفاوت کروموزومی این گونه‌ها بود. در یک مطالعه دیگر پس از بررسی سیتوژنتیکی گونه‌های آزیلوپس با استفاده از نواریندی C مشخص شد که کروموزوم‌های ژنوم D گونه *Ae. ventricosa* شباهت بیشتری به

جنس‌های *Aegilops* L. و *Triticum* L. متعلق به قبیله Triticeae در زیر خانواده Pooideae خانواده Poaceae علفی هستند. گونه‌های وحشی *Aegilops* در تکامل و اهلی‌سازی گندم از طریق فرایند هیبریداسیون طبیعی نقش اساسی دارند. دورگ‌گیری و آلپلی‌پلوئیدی، بین گندم و نزدیک‌ترین خویشاوند آن *Aegilops* نقش کلیدی در ایجاد گونه‌های گندم هگزاپلوئید ایفا کرده است (Golovnina et al. 2007). از سوی دیگر، به‌دلیل شناسایی آل‌های مطلوب در خویشاوندان وحشی گندم و انتقال آن‌ها به گندم نان، علاقه زیادی به بررسی روابط فیلوژنتیک و تکامل در Triticeae وجود دارد. با این حال، به‌ویژه روابط درون و بین گونه *Aegilops* و *Triticum* مورد بحث و بررسی مداوم هستند (Kilian et al. 2011). کروموزوم‌های گونه‌های مختلف خانواده تریتیسه از نظر تعداد و اندازه بسیار متنوع می‌باشد، اما تعداد کروموزوم‌های پایه در این خانواده یکسان و برابر با ۷ می‌باشد (Hilu 2004). اتوپلوئیدی، آلپلوئیدی و انیوپلوئیدی سبب ایجاد تنوع بالا در داخل این خانواده شده است (Sliai and Amer 2008, Kharazian 2011).

گونه‌های گندم در سه گروه شامل دیپلوئیدها، تتراپلوئیدها و هگزاپلوئید طبقه‌بندی می‌شوند. ساختار ژنومی گونه‌های گندم شامل چهار ژنوم اساسی، A، B، D و G می‌باشد (Linnaeus 1753). در حالی که ژنوم‌های گونه‌های آزیلوپس را می‌توان در هفت ژنوم پایه طبقه‌بندی نمود: C، D، M، N، S، T و U (Sasanuma 2004). این گونه‌ها شامل ۱۱ گونه دیپلوئید ( $2n=2x=14$ )، ۱۰ گونه تتراپلوئید ( $2n=4x=28$ ) و ۲ گونه هگزاپلوئید ( $2n=6x=42$ ) می‌باشند (Van-Slageren 1994). در یک برنامه به‌نژادی آگاهی از روابط خویشاوندی می‌تواند به برنامه سرعت بیشتری بدهد. مطالعات کاربوتایی به‌منظور مقایسه اختلافات موجود بین افراد یک گروه و آشکار شدن سیر تکاملی تغییرات در کروموزوم‌های تشکیل دهنده‌ی ژنوم انجام می‌گیرند. بنابراین یک به نژادگر با اطلاعات سیتوژنتیکی به‌راحتی تصمیم می‌گیرد که در یک برنامه تلاقی بین گونه‌ای از کدام گونه‌ها استفاده نماید تا نتاج بارور تولید کند (Stebbins 1971). وجود اختلاف در شکل و اندازه کروموزوم‌ها در تقسیم میتوز می‌تواند

شستشوی مجدد، ریشه‌ها در محلول NaOH یک نرمال و در دمای ۶۳ درجه سانتی‌گراد (درون دستگاه آون) به مدت ۸ دقیقه هیدرولیز شدند. سپس نمونه‌ها با کاغذ صافی خشک شده و به مدت ۳ ساعت در محلول همتوکسیلین رنگ‌آمیزی شدند. عکس‌برداری از سلول‌های متافازی با استفاده از میکروسکوپ دوربین دار زایس انجام شد.

در نهایت سه تکرار (صفحه متافازی مناسب) انتخاب و با استفاده از نرم‌افزار Micro Measure تجزیه و تحلیل شدند و پارامترهای طول بازوی کوتاه ( $SA^1$ )، طول بازوی بلند ( $LA^3$ )، طول کل کروموزوم ( $TL^4$ )، نسبت بازوها ( $AR^5$ )، شاخص سانترومری ( $CI^6$ )، اختلاف طول نسبی کروموزوم ( $DRL^7$ )، مقدار نسبی کروماتین ( $VRC^8$ )، شاخص نامتقارن بودن درون کروموزومی ( $A_1^9$ ) و ضریب پراکندگی پیرسون ( $A_2$ ) (Romero-Zarco 1986) اندازه‌گیری شدند. برای تعیین نوع کروموزوم‌ها نیز از روش لوان استفاده شد (Levan et al. 1964).

<sup>2</sup> Short arm

<sup>3</sup> Long arm

<sup>4</sup> Total length

<sup>5</sup> Arm ratio

<sup>6</sup> Centromer index

<sup>7</sup> Difference of relative length

<sup>8</sup> Value of relative chromatin

<sup>9</sup> Romero Zarcor

کروموزوم‌های *Ae. crassa* دارند (Bedava et al. 2012). بررسی کاربوتیپی گندم‌های وحشی نشان دادند که خصوصیات کاربوتیپی قادر به تفکیک دو گونه‌ی *T. boeoticum* و *Ae. tauschii* نبودند (Karimifshar et al. 2016).

### مواد و روش‌ها

در این مطالعه به منظور ارزیابی روابط فیلوژنی بین گونه‌های مختلف جنس‌های *Triticum L.* و *Aegilops L.* با استفاده از شاخص‌های سیتوژنتیکی، ۷۱ جمعیت مربوط به ۱۲ گونه‌ی وحشی و زراعی از بانک ژن دانشگاه ایلام، انتخاب شدند (جدول ۱). به منظور جوانه‌دار کردن بذور و تهیه نمونه‌های ریشه، بذور هر کدام از جمعیت‌های مورد بررسی درون ظروف پتری دیش و روی کاغذ واتمن مرطوب در دمای اتاق کشت شدند. به منظور متوقف کردن سلول‌های مریستمی در مرحله متافاز، بذور دارای ریشه‌های ۱-۰/۵ سانتی‌متری به مدت ۳ ساعت در دمای ۴ درجه سانتی‌گراد توسط کلشی سین ۰/۰۵ پیش تیمار شدند. ریشه‌ها پس از شستشو در محلول لویتسکی<sup>۱</sup> (شامل تری اکسید کروم یک درصد و محلول فرمالدئید ۱۰٪ با نسبت حجمی ۱:۱) به مدت ۳۶-۲۴ ساعت در دمای ۴ درجه سانتی‌گراد تثبیت شدند. پس از

<sup>1</sup> levitsky

جدول ۱- مشخصات جمعیت‌های مورد استفاده در تحقیق.

کد	گونه	ژنوم	منطقه جمع‌آوری
1	<i>T. aestivum</i>	BA <sup>u</sup> D	آذربایجان غربی، نقده
2	<i>T. aestivum</i>	BA <sup>u</sup> D	گلستان، گنبد
3	<i>T. aestivum</i>	BA <sup>u</sup> D	قزوین
4	<i>T. aestivum</i>	BA <sup>u</sup> D	اصفهان، شهرضا
5	<i>T. aestivum</i>	BA <sup>u</sup> D	خوزستان، ایذه
6	<i>T. aestivum</i>	BA <sup>u</sup> D	ایلام، مهران
7	<i>T. boeoticum</i>	A <sup>b</sup>	لرستان، سپیددشت
8	<i>T. boeoticum</i>	A <sup>b</sup>	البرز، طالقان
9	<i>T. boeoticum</i>	A <sup>b</sup>	کرمانشاه، جوانرود
10	<i>T. boeoticum</i>	A <sup>b</sup>	آذربایجان غربی، اشنویه
11	<i>T. boeoticum</i>	A <sup>b</sup>	ایلام، سرابله
12	<i>T. turgidum</i>	BA <sup>u</sup>	خوزستان، اهواز
13	<i>T. turgidum</i>	BA <sup>u</sup>	اردبیل
14	<i>T. turgidum</i>	BA <sup>u</sup>	کهگیلویه و بویر احمد، یاسوج
15	<i>T. turgidum</i>	BA <sup>u</sup>	کردستان
16	<i>T. turgidum</i>	BA <sup>u</sup>	خراسان رضوی، مشهد

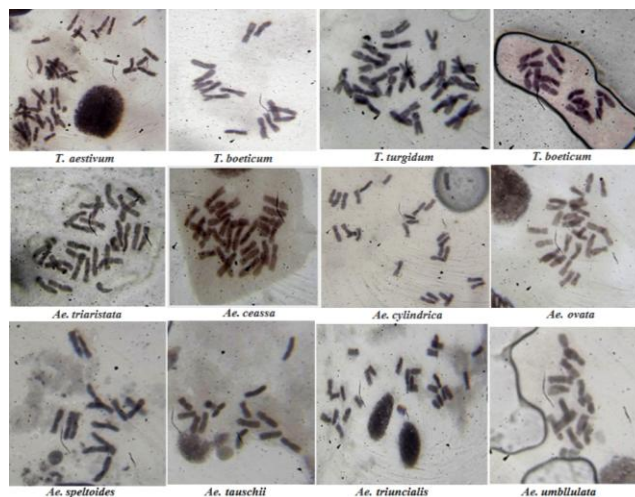
17	<i>T. turgidum</i>	BA <sup>u</sup>	4x	ایلام، مهران
18	<i>T. urartu</i>	A <sup>u</sup>	2x	کرمانشاه، کرند
19	<i>T. urartu</i>	A <sup>u</sup>	2x	کردستان، سنقر
20	<i>T. urartu</i>	A <sup>u</sup>	2x	کردستان، مریوان ۱
21	<i>T. urartu</i>	A <sup>u</sup>	2x	کهگیلویه و بویر احمد، سی سخت
22	<i>T. urartu</i>	A <sup>u</sup>	2x	چهارمحال و بختیاری، فرخ شهر
23	<i>T. urartu</i>	A <sup>u</sup>	2x	کرمانشاه، سنقر
24	<i>T. urartu</i>	A <sup>u</sup>	2x	کرمانشاه، بیستون
25	<i>T. urartu</i>	A <sup>u</sup>	2x	کرمانشاه
26	<i>T. urartu</i>	A <sup>u</sup>	2x	کردستان، مریوان ۲
27	<i>Ae. triaristata</i>	UM	4x	خوزستان، اندیمشک
28	<i>Ae. triaristata</i>	UM	4x	لرستان، ویسیان
29	<i>Ae. triaristata</i>	UM	4x	ایلام، دره شهر
30	<i>Ae. triaristata</i>	UM	4x	لرستان، افرینه
31	<i>Ae. triaristata</i>	UM	4x	ایلام، بانگنجا
32	<i>Ae. crassa</i>	DM	4x	فارس، سپیدان
33	<i>Ae. crassa</i>	DM	4x	آذربایجان شرقی، آذر شهر
34	<i>Ae. crassa</i>	DM	4x	کرمانشاه، سنقر
35	<i>Ae. crassa</i>	DM	4x	چهارمحال و بختیاری، بروجن
36	<i>Ae. crassa</i>	DM	4x	ایلام
37	<i>Ae. crassa</i>	DM	4x	کرمانشاه، هرسین
38	<i>Ae. cylindrica</i>	CD	4x	کردستان
39	<i>Ae. cylindrica</i>	CD	4x	کرمانشاه، هرسین
40	<i>Ae. cylindrica</i>	CD	4x	اردبیل، مشکین شهر
41	<i>Ae. cylindrica</i>	CD	4x	زنجان
42	<i>Ae. cylindrica</i>	CD	4x	گیلان، آستارا
43	<i>Ae. ovata</i>	UM	4x	اردبیل، مشکین شهر
44	<i>Ae. ovata</i>	UM	4x	ایلام، ایوان
45	<i>Ae. ovata</i>	UM	4x	کرمانشاه، اسلام آباد غرب
46	<i>Ae. ovata</i>	UM	4x	آذربایجان غربی، اهر
47	<i>Ae. ovata</i>	UM	4x	ایلام، سرابله
48	<i>Ae. ovata</i>	UM	4x	اردبیل، مشکین شهر
49	<i>Ae. speltoides</i>	S	2x	کرمانشاه، قصر شیرین
50	<i>Ae. speltoides</i>	S	2x	ایران
51	<i>Ae. speltoides</i>	S	2x	ایران
52	<i>Ae. speltoides</i>	S	2x	ایلام، دره شهر
53	<i>Ae. speltoides</i>	S	2x	ایلام، دره شهر
54	<i>Ae. speltoides</i>	S	2x	ایلام، آبدانان
55	<i>Ae. tauschii</i>	D	2x	گیلان
56	<i>Ae. tauschii</i>	D	2x	اردبیل
57	<i>Ae. tauschii</i>	D	2x	آذربایجان غربی، اهر
58	<i>Ae. tauschii</i>	D	2x	مازندران، رامسر
59	<i>Ae. tauschii</i>	D	2x	زنجان
60	<i>Ae. tauschii</i>	D	2x	گلستان، علی آباد کنول،
61	<i>Ae. triuncialis</i>	UC	4x	ایران
62	<i>Ae. triuncialis</i>	UC	4x	کردستان، دیوان دره
63	<i>Ae. triuncialis</i>	UC	4x	لرستان
64	<i>Ae. triuncialis</i>	UC	4x	گیلان، آستارا، حیران
65	<i>Ae. triuncialis</i>	UC	4x	خوزستان، ایذه
66	<i>Ae. triuncialis</i>	UC	4x	چهار محال و بختیاری، بروجن
67	<i>Ae. umblulata</i>	U	2x	ایلام، سرابله

68	<i>Ae. umblulata</i>	U	2x	کرمانشاه، اسلام‌آباد غرب
69	<i>Ae. umblulata</i>	U	2x	فارس، سپیدان
70	<i>Ae. umblulata</i>	U	2x	ایلام، دهلران، میمه
71	<i>Ae. umblulata</i>	U	2x	لرستان، کوه‌دشت

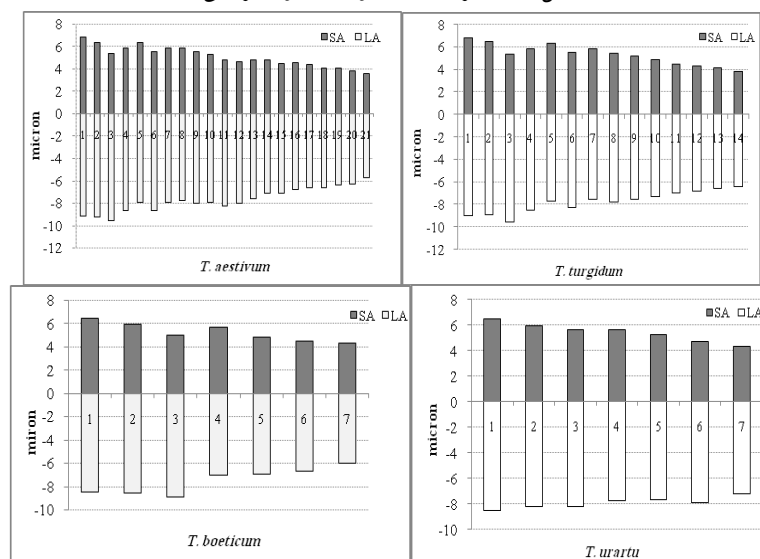
### نتایج و بحث

در شکل ۱ نمونه‌ای از تصویر سلول متافازی (سیتوتیپ) گونه‌های مورد بررسی و در شکل‌های ۲ و ۳ به ترتیب آیدیوگرام گونه‌های *Triticum* و *Aegilops* ارائه شده است. مشخصات کاریوتیپی جمعیت‌های مورد بررسی در جدول ۲ آورده شده است. مطابق نتایج به دست آمده، کاریوتیپ گونه‌های *Triticum* در کلاس ۱A و ۲A قرار داشتند. از میان گونه‌های *Aegilops* نیز، جمعیت‌های دو گونه‌ی *Ae. cylindrica* و *Ae. speltoides* به ترتیب در کلاس‌های ۱A+۲A و ۲A قرار داشتند. (Ahmadabadi et al. (2005

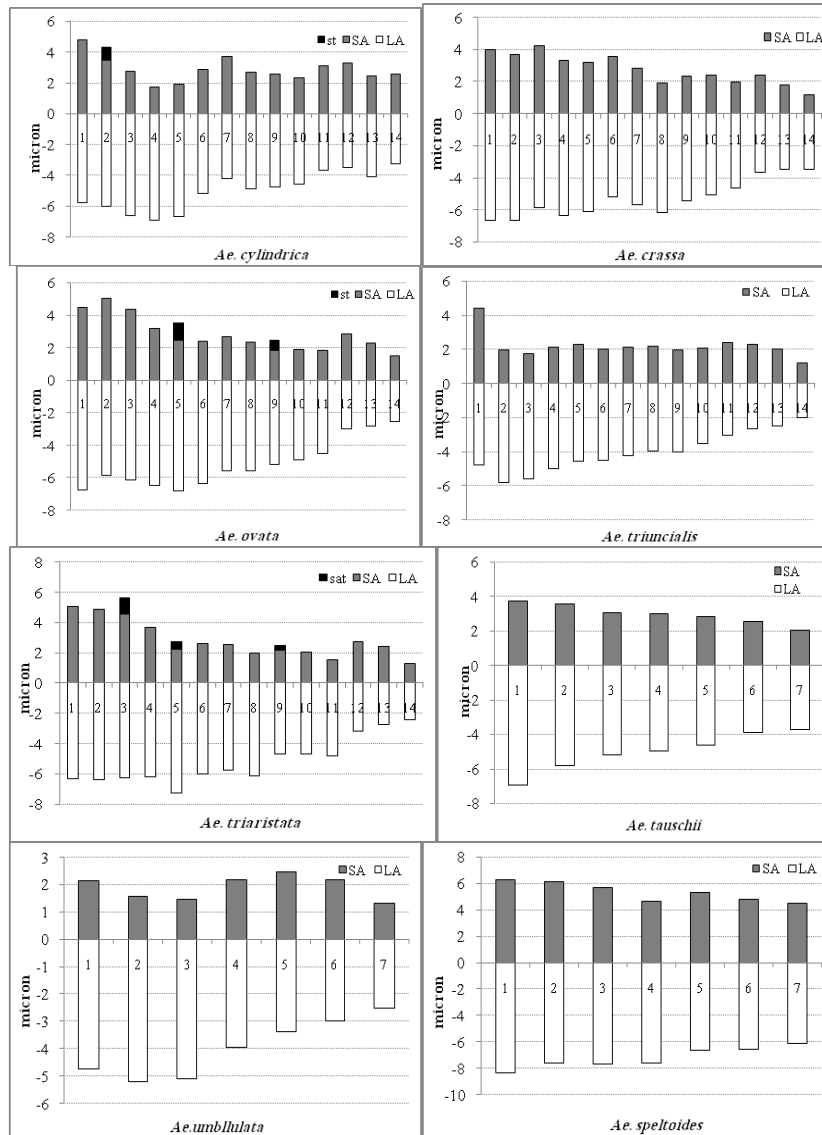
نشان دادند که کاریوتیپ *Ae. cylindrica* در کلاس ۲A قرار دارد. بنابراین دو گونه‌ی مذکور به همراه گونه‌های *Triticum* دارای کمترین عدم تقارن کروموزومی و بیشترین میزان کروماتین بودند. کاریوتیپ جمعیت‌های گونه *Ae. tauschii* نیز اگرچه در کلاس‌های ۱A و ۲A قرار داشت اما میزان کروماتین نسبی آن به اندازه گونه‌های فوق نبود. از سوی دیگر، کاریوتیپ سایر گونه‌های *Aegilops* در کلاس‌های B و C قرار داشت، بنابراین عدم تقارن بیشتر و میزان کروماتین نسبی داشتند. در میان آن‌ها، گونه *Ae. triuncialis* بیشترین عدم تقارن کاریوتیپی را نشان داد.



شکل ۱- گستره متافازی گونه‌های مورد بررسی



شکل ۲- آیدیوگرام کروموزوم‌های متافازی گونه‌های *Triticum* L.



شکل ۳- آیدیوگرام کروموزوم‌های متافازی گونه‌های *Aegilops* L.

۱A قرار گرفتند. Karimzadeh et al. (2008) نیز جمعیت‌های این گونه را در کلاس ۱A قرار دادند. نتایج تحقیقات این محققین برای *Ae. speltoides* نیز با نتایج این تحقیق مطابقت دارد. در هر دو مطالعه جمعیت‌های این گونه در کلاس ۱A قرار گرفتند. از میان گونه‌های مورد بررسی، گونه‌های *Aegilops* به استثنای *Ae. tauschii* و *Ae. speltoides* دارای بیشترین کروموزوم‌های sm بودند. بنابراین نامتقارن‌ترین کاریوتیپ مربوط به این گونه‌ها بود. تجزیه واریانس صفات کاریوتیپی شامل طول بازوی بلند (LA)، طول بازوی کوتاه (SA)، طول کل کروموزوم (TL)، نسبت بازوها (AR) و شاخص سانترومری (CI) در قالب طرح کاملاً تصادفی در بین گونه‌های مورد مطالعه انجام شد (جدول ۳).

شاخص نامتقارن بودن درون کروموزومی ( $A_1$ ) نیز به طور متوسط در گونه‌های *Aegilops* بیشتر از گونه‌های *Triticum* (به استثنای *Ae. speltoides*)، بنابراین گونه‌های گندم دارای تقارن بیشتری بودند. کمترین میزان شاخص نامتقارن بودن بین کروموزومی ( $A_2$ ) مربوط به گونه *T. urartu* بود، بنابراین این گونه دارای تقارن بین کروموزومی بیشتری نسبت به سایر گونه‌ها بود و درجه تکامل کمتری نسبت به آن‌ها دارد. جمعیت‌های *Ae. tauschii* در کلاس‌های ۲A و ۱A قرار گرفتند و سه مورد از آن‌ها دارای فرمول کاریوتیپی 5m+2sm بودند. Jafar-Aghaei et al. (2013) نشان دادند که جمعیت‌های *Ae. tauschii* دارای فرمول کاریوتیپی 5m+2sm هستند و در کلاس

جدول ۲- خصوصیات کاربوتیپی جمعیت‌های مورد بررسی گونه

فرمول	کروموزوم‌های دارای ماهواره	SC	A2	A1	%TF	DRL	VRC	جمعیت	گونه
17m+4sm	-	۲A	۰/۱۶	۰/۳۳	۴۰/۱۲	۲/۶۲	۱۲/۵۹	۱	<i>T. aestivum</i>
16m+5sm	-	۱A	۰/۱۶	۰/۳۳	۴۰/۱۰	۲/۹۶	۱۲/۵۹	۲	
17m+4sm	-	۱A	۰/۱۶	۰/۳۱	۴۰/۶۷	۲/۶۷	۱۲/۵۶	۳	
16m+5sm	-	۲A	۰/۱۴	۰/۳۲	۴۰/۱۵	۲/۳۴	۱۲/۸۲	۴	
13m+8sm	-	۲A	۰/۱۳	۰/۳۵	۳۹/۳۵	۲/۲۰	۱۲/۹۸	۵	
13m+8sm	-	۲A	۰/۱۴	۰/۳۵	۳۹/۳۷	۲/۲۹	۱۳/۰۹	۶	
6m+1sm	-	۲A	۰/۱۵	۰/۳۲	۳۹/۹۷	۵/۷۳	۱۲/۴۲	۷	<i>T. boeoticum</i>
6m+1sm	-	۲A	۰/۱۷	۰/۳۰	۴۱/۱۷	۶/۸۷	۱۲/۵۶	۸	
7m	-	۱A	۰/۱۵	۰/۲۷	۴۲/۲۳	۵/۴۸	۱۲/۶۴	۹	
7m	-	۱A	۰/۱۵	۰/۲۷	۴۲/۱۹	۴/۹۱	۱۲/۷۴	۱۰	
7m	-	۱A	۰/۰۹	۰/۳۲	۴۰/۱۹	۳/۲۱	۱۳/۴۴	۱۱	
13m+1Sm	-	۱A	۰/۱۴	۰/۲۷	۴۱/۹۸	۳/۰۱	۱۳/۰۹	۱۲	<i>T. turgidum</i>
11m+3Sm	-	۱A	۰/۱۲	۰/۳۵	۳۹/۳۷	۲/۷۹	۱۲/۹۹	۱۳	
11m+3Sm	-	۱A	۰/۱۶	۰/۳۲	۴۰/۳۸	۳/۱۱	۱۲/۷۸	۱۴	
11m+3Sm	-	۲A	۰/۱۲	۰/۳۲	۴۰/۲۴	۲/۴۱	۱۳/۲۷	۱۵	
10m+4Sm	-	۲A	۰/۱۴	۰/۳۲	۴۰/۴۲	۳/۲۹	۱۳/۰۱	۱۶	
9m+5Sm	-	۲A	۰/۱۴	۰/۳۳	۴۰/۳۶	۳/۳۷	۱۳/۳۵	۱۷	
4m+3sm	-	۱A	۰/۰۸	۰/۳۰	۴۱/۲۳	۳/۵۶	۱۳/۴۶	۱۸	
6m+1sm	-	۱A	۰/۰۸	۰/۲۹	۴۱/۶۲	۳/۴۲	۱۳/۶۳	۱۹	
6m+1sm	-	۱A	۰/۰۹	۰/۲۸	۴۱/۷۷	۳/۵۳	۱۴/۱۲	۲۰	
5m+2sm	-	۱A	۰/۰۷	۰/۳۱	۴۰/۸۲	۲/۸۵	۱۳/۳۹	۲۱	
4m+3sm	-	۱A	۰/۰۹	۰/۳۳	۴۰/۲۲	۳/۸۴	۱۳/۳۱	۲۲	
2m+5sm	-	۲A	۰/۱۳	۰/۴۶	۳۴/۸۸	۵/۳۸	۱۱/۸۱	۲۳	
4m+3sm	-	۱A	۰/۰۸	۰/۳۱	۴۰/۹۵	۳/۴۷	۱۳/۴۲	۲۴	
6m+1sm	-	۲A	۰/۰۷	۰/۲۹	۴۱/۴۴	۳/۳۳	۱۳/۴۹	۲۵	
4m+3sm	-	۱A	۰/۰۹	۰/۳۱	۴۰/۷۲	۴/۰۶	۱۳/۴۴	۲۶	
6m+6sm+2st	-	۳B	۰/۲۹	۰/۴۴	۳۴/۶۲	۶/۷۷	۷/۹۱	۲۷	<i>Ae. triaristata</i>
4m+8sm+2st	۱	۳B	۰/۲۹	۰/۴۹	۳۳/۰۰	۶/۷۸	۸/۰۴	۲۸	
7m+5sm+2st	-	۲B	۰/۳۰	۰/۴۰	۳۶/۶۴	۶/۸۹	۷/۹۵	۲۹	
6m+6sm+2st	۲	۲B	۰/۳۰	۰/۴۳	۳۵/۵۰	۶/۹۲	۷/۹۶	۳۰	
8m+3sm+3st	-	۲B	۰/۳۰	۰/۳۸	۳۶/۸۸	۶/۷۰	۸/۲۳	۳۱	
6m+7sm+1st	-	۲B	۰/۲۱	۰/۴۶	۳۴/۸۳	۵/۰۸	۸/۱۲	۳۲	<i>Ae. crassa</i>
4m+8sm+2st	-	۲A	۰/۱۹	۰/۵۱	۳۲/۶۸	۴/۲۴	۸/۱۶	۳۳	
5m+6sm+3st	-	۲B	۰/۲۹	۰/۴۸	۳۴/۰۳	۵/۹۷	۷/۸۴	۳۴	
6m+5sm+3st	-	۲B	۰/۲۲	۰/۴۷	۳۴/۲۲	۵/۱۷	۸/۲۰	۳۵	
5m+6sm+3st	-	۲B	۰/۲۷	۰/۴۷	۳۴/۲۶	۶/۱۰	۷/۸۴	۳۶	
6m+6sm+2st	-	۲B	۰/۲۵	۰/۴۵	۳۵/۰۱	۵/۳۲	۸/۲۹	۳۷	
6m+6sm+2st	-	۲A	۰/۱۷	۰/۳۷	۳۷/۰۶	۴/۳۵	۸/۱۴	۳۸	
10m+2sm+2st	-	۲A	۰/۱۸	۰/۳۳	۳۸/۲۲	۴/۷۴	۷/۵۸	۳۹	
5m+7sm+2st	-	۲A	۰/۱۷	۰/۴۰	۳۶/۱۳	۴/۲۵	۷/۷۵	۴۰	
7m+7sm	۱	۲A	۰/۱۵	۰/۴۰	۳۶/۲۳	۳/۵۸	۷/۹۴	۴۱	
5m+7sm+2st	-	۲A	۰/۱۶	۰/۴۲	۳۵/۳۸	۴/۱۷	۷/۹۶	۴۲	
7m+5sm+2st	-	۲B	۰/۲۷	۰/۳۹	۳۶/۳۰	۵/۷۴	۸/۰۴	۴۳	<i>Ae. ovata</i>
5m+6sm+3st	۲	۲B	۰/۲۸	۰/۴۵	۳۴/۲۶	۶/۴۵	۸/۱۰	۴۴	
6m+6sm+2st	-	۲B	۰/۲۸	۰/۴۴	۳۵/۰۷	۶/۵۷	۸/۲۰	۴۵	
6m+5sm+3st	-	۲B	۰/۲۹	۰/۴۵	۳۴/۶۳	۶/۶۹	۷/۸۰	۴۶	
5m+7sm+2st	۱	۲B	۰/۲۷	۰/۴۳	۳۵/۳۶	۶/۳۸	۷/۹۵	۴۷	
6m+6sm+2st	-	۲B	۰/۳۰	۰/۴۵	۳۴/۳۹	۶/۷۵	۷/۸۰	۴۸	

7m	-	1A	۰/۱۳	۰/۲۱	۴۴/۱۳	۵/۶۳	۱۲/۵۷	۴۹	Ae. speltoides
7m+1sm	-	1A	۰/۱۳	۰/۲۸	۴۱/۸۷	۵/۱۷	۱۲/۶۹	۵۰	
7m	-	1A	۰/۱۰	۰/۳۰	۴۱/۲۸	۴/۰۴	۱۲/۹۳	۵۱	
7m	-	1A	۰/۱۳	۰/۲۶	۴۲/۶۷	۵/۴۰	۱۲/۰۲	۵۲	
7m+1sm	-	۲A	۰/۱۰	۰/۲۴	۴۲/۸۷	۳/۶۵	۱۲/۷۴	۵۳	
7m+1sm	-	1A	۰/۱۰	۰/۲۷	۴۲/۱۶	۳/۷۴	۱۲/۴۹	۵۴	
5m+2sm	-	۲A	۰/۱۸	۰/۴۰	۳۷/۳۹	۸/۳۸	۸/۰۸	۵۵	Ae. tauschii
5m+2sm	-	1A	۰/۱۹	۰/۳۹	۳۷/۸۳	۷/۶۰	۸/۰۳	۵۶	
4m+3sm	-	1A	۰/۲۳	۰/۳۴	۳۸/۴۰	۸/۵۷	۷/۸۳	۵۷	
4m+3sm	-	۲A	۰/۲۲	۰/۴۱	۳۷/۲۰	۹/۲۲	۷/۹۲	۵۸	
3m+4sm	-	۲A	۰/۲۲	۰/۴۳	۳۵/۸۹	۹/۵۷	۷/۹۳	۵۹	
5m+2sm	-	۲A	۰/۲۲	۰/۴۱	۳۶/۸۷	۹/۰۰	۸/۱۱	۶۰	
4m+8sm+2st	-	۲B	۰/۲۴	۰/۴۲	۳۵/۴۲	۷/۱۲	۶/۳۲	۶۱	Ae. triuncialis
6m+6sm+2st	-	۲B	۰/۲۱	۰/۴۲	۳۵/۱۶	۶/۰۵	۶/۳۴	۶۲	
4m+8sm+2st	-	۲B	۰/۲۰	۰/۴۴	۳۴/۳۳	۶/۰۸	۶/۲۸	۶۳	
5m+8sm+1st	-	۲B	۰/۲۳	۰/۴۱	۳۵/۰۶	۶/۱۵	۶/۳۳	۶۴	
7m+4sm+3st	-	۲C	۰/۲۹	۰/۳۵	۳۶/۶۶	۸/۱۷	۶/۰۵	۶۵	
5m+8sm+1st	-	۲B	۰/۲۷	۰/۴۱	۳۵/۴۲	۷/۶۹	۶/۰۴	۶۶	
2m+4sm+1st	-	۳A	۰/۱۸	۰/۴۸	۳۲/۵۵	۷/۱۱	۶/۱۳	۶۷	Ae. umblulata
2m+4sm+1st	-	۳A	۰/۱۷	۰/۴۷	۳۳/۰۰	۶/۸۷	۶/۲۱	۶۸	
3m+2sm+2st	-	۳A	۰/۱۳	۰/۴۸	۳۱/۴۴	۵/۱۰	۶/۱۵	۶۹	
4m+1sm+2st	-	۲A	۰/۲۱	۰/۴۱	۳۳/۸۷	۸/۶۰	۵/۵۰	۷۰	
2m+2sm+3st	-	۳B	۰/۲۳	۰/۵۳	۲۹/۸۵	۹/۴۲	۵/۴۴	۷۱	

جدول ۳- میانگین مربعات تجزیه واریانس صفات کاربوتیپی بر اساس گونه‌های مورد بررسی

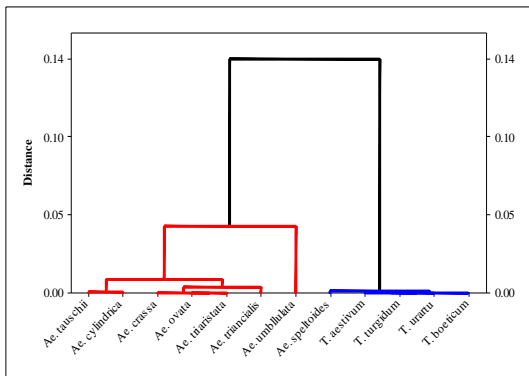
CI	AR	TL	SA	LA	درجه آزادی	منابع تغییرات
۰/۰۰۳**	۰/۱۷۲**	۲۳/۳۷**	۵/۸۹**	۶/۸۹**	۱۱	گونه
۰/۰۰۰۰۸	۰/۰۰۶	۰/۳۳۴	۰/۰۶۸	۰/۱۰۵	۲۴	خطا
۲/۳۵	۴/۵۴	۵/۹۴	۶/۹۸	۵/۴۱	--	درصد ضریب تغییرات

\*\* وجود اختلاف معنی‌دار در سطح ۰/۰۱

*umblulata* بود که با گونه *Ae. triuncialis* اختلاف معنی‌داری در سطح ۰/۰۵ نشان نداد. بنابراین می‌توان نتیجه گرفت که ژنوم‌های A، B و S دارای بلندترین کروموزوم‌ها و ژنوم U دارای کوتاه‌ترین کروموزوم‌ها بودند. در مطالعات گذشته نیز ژنوم‌های A و S دارای بلندترین کروموزوم‌ها و ژنوم‌های U و D دارای کوتاه‌ترین کروموزوم‌ها بوده‌اند (Feridooni et al. 2017). در یک بررسی دیگر نیز گونه *Ae. speltoides* دارای کروموزوم‌های بلندتری نسبت به *Ae. umblulata* بودند و متوسط طول کروموزوم‌های *Ae. umblulata* برابر با ۵/۲۱ میکرون بود که با نتایج تحقیق حاضر (۵/۸۸ میکرون) مطابقت دارد (Al-Mashhadani et al. 1978).

برای تمامی صفات مورد ارزیابی اختلاف معنی‌داری در سطح ۰/۰۱ در بین گونه‌های مورد مطالعه مشاهده شد. ضریب تغییرات به‌دست آمده بین ۲/۳۵ تا ۶/۹۸ درصد بود. وجود اختلاف معنی‌دار در بین گونه‌های آزیلوپس در مطالعات گذشته نیز مشاهده شده است (Karimzadeh et al. 2008). نتایج مقایسه میانگین بین گونه‌ها برای صفات کاربوتیپی با استفاده از روش دانکن در سطح ۰/۰۵ (جدول ۴) نشان داد که گروه‌بندی متفاوتی در بین گونه‌ها برای صفات کاربوتیپی وجود دارد. گونه *T. urartu* دارای بیشترین مقدار برای شاخص طول کل کروموزوم بود. که با گونه‌های *T. aestivum*، *T. turgidum* و *boeoticum* و *Ae. speltoides* اختلاف معنی‌داری در سطح ۰/۰۵ نشان نداد. کمترین طول کروموزوم مربوط به گونه *Ae.*





شکل ۴- تجزیه کلاستر گونه‌های *Aegilops* L. و *Triticum* L. بر اساس خصوصیات کاربوتیپی با روش Ward

جدول ۴- مقایسه میانگین گونه‌های مورد بررسی بر اساس صفات کاربوتیپی

گونه	TL	LA	SA	AR	CI
<i>T. aestivum</i>	۱۲/۷۷ a	۷/۶۷ ab	۵/۱۰ a	۱/۵۰ e	۰/۴۰ b
<i>T. turgidum</i>	۱۳/۰۸ a	۷/۷۹ ab	۵/۲۹ a	۱/۴۷ ef	۰/۴۰ b
<i>T. urartu</i>	۱۳/۳۴ a	۷/۹۴ a	۵/۴۰ a	۱/۴۷ ef	۰/۴۰ b
<i>T. boeoticum</i>	۱۲/۷۶ a	۷/۵۱ ab	۵/۲۵ a	۱/۴۳ ef	۰/۴۱ ab
<i>Ae. tauschii</i>	۷/۹۸ b	۵/۰۰ c	۲/۹۷ b	۱/۶۸ d	۰/۳۷ c
<i>Ae. triuncialis</i>	۶/۲۳ c	۴/۰۲ d	۲/۲۰ c	۱/۸۴ bc	۰/۳۵ de
<i>Ae. triaristata</i>	۸/۰۳ b	۵/۱۸ c	۲/۸۴ b	۱/۸۴ bc	۰/۳۵ de
<i>Ae. umblulata</i>	۵/۸۸ c	۳/۹۹ d	۱/۸۹ c	۲/۱۳ a	۰/۳۲ f
<i>Ae. crassa</i>	۸/۰۷ b	۵/۳۱ c	۲/۸۶ b	۱/۹۳ b	۰/۳۴ e
<i>Ae. cylindrica</i>	۷/۸۸ b	۴/۹۹ c	۲/۸۹ b	۱/۸۳ cd	۰/۳۶ cd
<i>Ae. ovata</i>	۷/۹۸ b	۵/۱۹ c	۲/۸۰ b	۱/۸۶ bc	۰/۳۵ e
<i>Ae. speltooides</i>	۱۲/۵۷ a	۷/۲۳ b	۵/۳۴ a	۱/۳۵ f	۰/۴۳ a

با توجه به نتایج تجزیه کلاستر گونه‌ها در دو کلاستر اصلی گروه‌بندی شدند (شکل ۴). نتایج به‌دست آمده به‌خوبی توانست دو جنس *Aegilops* و *Triticum* را از هم تفکیک نماید. به جز گونه *Ae. speltooides* که الگوی متفاوتی را نسبت به سایر گونه‌های *Aegilops* نشان داد و در دندروگرام در کنار گونه‌های *Triticum* قرار گرفت. این یافته می‌تواند تأیید کننده‌ی این گونه به‌عنوان دهنده‌ی ژنوم B باشد.

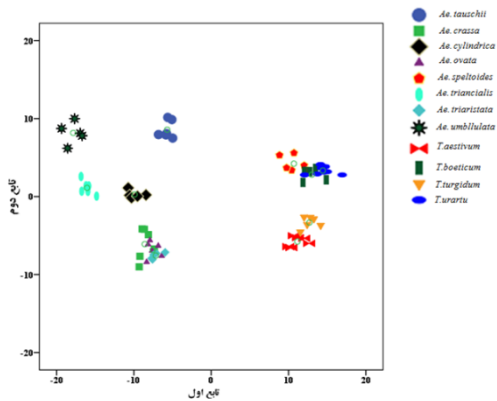
دندروگرام به‌دست آمده به‌خوبی تأیید کننده روابط ژنومی و تکاملی بود. به‌نحوی که گونه‌های گندم اینکورن (*T. urartu* و *T. boeoticum*) در یک زیرگروه و گندم‌های پلی‌پلوئید (*T. turgidum* و *T. aestivum*) به‌همراه *Ae. speltooides* در زیرگروه دوم کلاستر اول قرار گرفتند. همان‌طور که مشخص است ژنوم‌های A و B به شکل مناسبی در کنار یکدیگر قرار گرفته و از سایر ژنوم‌ها تفکیک شدند. نتایج مطالعه حاضر بیانگر ارتباط نزدیک دو ژنوم

شاخص‌های طول بازوی بلند و طول بازوی کوتاه نیز نتایج مشابهی را با طول کروموزوم نشان دادند. برای این صفات نیز گونه *T. urartu* دارای بیشترین مقادیر بود. که با گونه‌های *T. boeoticum*، *T. aestivum*، *T. turgidum* و *Ae. speltooides* اختلاف معنی‌داری در سطح ۰/۰۵ نشان ندادند. کمترین مقادیر برای این دو شاخص نیز همانند صفت طول کل کروموزوم مربوط به گونه *Ae. umblulata* بود که با گونه *triuncialis* اختلاف معنی‌داری در سطح ۰/۰۵ نشان نداد.

گونه‌های *Ae. tauschii*، *Ae. crassa*، *Ae. triaristata*، *Ae. ovata* و *cylindrica* دارای مقادیر متوسطی برای سه شاخص طول کل کروموزوم، طول بازوی بلند و طول بازوی کوتاه بودند. بنابراین به‌طور کلی می‌توان گفت که ژنوم‌های A، B و S دارای بلندترین کروموزوم‌ها و ژنوم‌های U و ترکیب آن با ژنوم C (UC) دارای کوتاه‌ترین کروموزوم‌ها بودند. در حالی‌که سایر ژنوم یعنی M، D، C و نیز ترکیبات ژنومی آن‌ها با یکدیگر و با سایر ژنوم‌ها دارای مقادیر متوسطی برای طول کروموزوم بودند (جدول ۴).

بیشترین مقادیر برای صفت نسبت بازوها به گونه *Ae. umblulata* اختصاص داشت که با سایر گونه‌ها دارای اختلاف معنی‌دار در سطح ۰/۰۵ بود. کمترین میزان آن نیز در گونه *Ae. speltooides* مشاهده شد که با گونه‌های جنس *Triticum* در یک گروه قرار گرفته و اختلاف معنی‌داری با آن‌ها نشان نداد. بیشترین شاخص سانترومیری مربوط به گونه‌های جنس *Triticum* و *Ae. speltooides* بود. در مطالعه Ehtemam et al. (2014) نیز بیشترین شاخص سانترومیری مربوط به گونه‌های گندم اینکورن بود. کمترین میزان این شاخص نیز در گونه *Ae. umblulata* مشاهده شد. مطابق این نتایج ژنوم U دارای کمترین شاخص سانترومیری بود. بنابراین بیشترین عدم تقارن درون کروموزومی و متکامل‌ترین کاربوتیپ مربوط به این گونه بود. از سوی دیگر گونه‌های جنس *Triticum* و *Ae. speltooides* کمترین تکامل کاربوتیپی را به‌خود اختصاص دادند. سایر گونه‌های مورد بررسی نیز در رده متوسطی قرار گرفتند.

به نحوی که جمعیت‌های گونه‌های *Ae. boeoticum* و *Ae. urartu* که هر دو دارای ژنوم A هستند، بسیار نزدیک به یکدیگر قرار گرفتند. در مورد گندم‌های پلی‌پلوئید نیز همین گونه بود و جمعیت‌های *T. turgidum* و *T. aestivum* در موقعیتی نزدیک به یکدیگر قرار گرفتند. هر چند که جمعیت‌های این دو گونه به صورت مجزا از یکدیگر قرار داشتند.



شکل ۵- نمودار پراکنش جمعیت‌های گونه‌های مورد مطالعه بر اساس توابع اول و دوم حاصل از تجزیه تابع تشخیص صفات کاربوتیبی

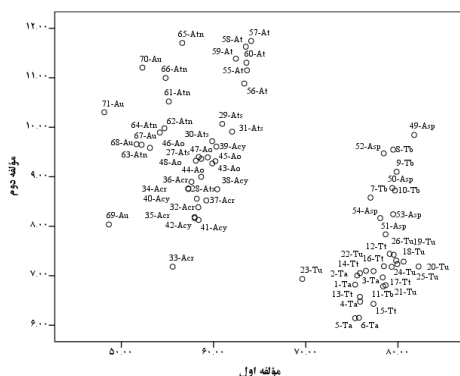
بررسی روابط تبارزایی گندم‌های دارای ژنوم A با استفاده از ویژگی‌های کاربوتیبی توسط Ehtemam et al. (2014) نیز مؤید همین مطلب بود. در این بررسی گندم‌های اینکورن ( *T. boeoticum monococcum* و *T. urartu* ) در یک گروه و گندم‌های پلی‌پلوئید ( *T. turgidum* ، *T. turgidum* و *T. aestivum* ) در یک گروه مستقل دیگر قرار گرفتند. جمعیت‌های *Ae. speltooides* نیز اگرچه از سایر گونه‌ها تفکیک شدند اما نزدیک به گونه‌های گندم اینکورن نمایان شدند. آنالیزهای پلاسمون نیز اشاره می‌کند که *Ae. speltooides* اهدا کننده ژنوم B است. مطابق این نتایج در بین پلاسمون‌های گونه‌های دیپلوئید آزیلوپس، پلاسمون S گونه‌ی *Ae. speltooides* بیشترین ارتباط و نزدیکی را با پلاسمون‌های B و G دارد (Zhang et al. 2002). در مجموع ۷۹/۲ درصد از جمعیت‌ها بر اساس صفات کاربوتیبی با توجه به تجزیه تابع تشخیص در گروه‌های مربوط به خود قرار گرفتند و یا به عبارتی به طور صحیح گروه‌بندی شدند. این تابع بیشتر در تفکیک تنوع بین گونه‌ای نقش داشته و با توجه به این که ۷۹/۲ درصد از واریانس را توجیه نموده، می‌توان استنباط کرد که

A و S بود به نحوی که ژنوم A بیشترین همولوژی را به ژنوم S نشان داد. مطالعات سیتوپلاسمی و مورفولوژیکی نیز شباهت گونه‌های گندم به *Ae. speltooides* را تصدیق نموده‌اند ( Baum et al. 2004; Sasanuma et al. 2009).

در کلاستر دوم نیز گونه‌ها بر اساس ژنوم‌شان در زیرگروه‌های متفاوتی قرار گرفتند. در این کلاستر گونه‌های *Ae. tauschii* (D) و *Ae. cylindrica* (CD) با همدیگر یک زیر گروه تشکیل دادند. گونه‌های دارای ژنوم UM (*Ae. ovata* و *Ae. triaristata*) به همراه *Ae. crassa* (DM) که در ژنوم M با دو گونه فوق مشترک است، تشکیل یک زیرگروه دادند و همگی آن‌ها با *Ae. triuncialis* (UC) تشکیل یک زیرگروه بزرگ‌تر دادند که این ارتباط نیز به مشترک بودن ژنوم U در گونه‌های *Ae. ovata*، *Ae. triuncialis* و *Ae. triaristata* برمی‌گردد. گونه‌ی *Ae. umbellulata* نیز الگوی متفاوتی را نسبت به سایر گونه‌های *Aegilops* نشان داد و اگرچه در کلاستر *Aegilops* قرار گرفت اما به صورت مجزا در یک زیر گروه قرار گرفت. این نتیجه با نتایج (Feridooni et al. 2017) هم‌خوانی داشت که در آن نیز جمعیت‌های گونه *Ae. umbellulata* کاملاً از سایر گونه‌های *Aegilops* مورد بررسی تفکیک شدند و در یک گروه مجزا قرار گرفتند.

به منظور بررسی بیشتر روابط بین و درون گونه‌ای جمعیت‌های گونه‌های مورد مطالعه از تجزیه تابع تشخیص استفاده شد. چهار تابع اول دارای مقادیر ویژه بالای یک بودند که به ترتیب ۷۹/۲، ۱۶/۵، ۲/۵ و ۱ درصد از واریانس را توجیه کردند و در مجموع ۹۹/۳ از واریانس با این سه تابع توجیه شد. نمودار پراکنش جمعیت‌های گونه‌های مورد مطالعه که بر اساس دو تابع اول که مجموعاً ۹۵/۸ درصد از واریانس را توجیه نمودند ترسیم شده است، در شکل ۵ نشان داده شده است. همچنان که ملاحظه می‌شود، جمعیت‌های گونه‌های *Ae. tauschii*، *Ae. cylindrica*، *Ae. triuncialis* و *Ae. umbellulata* کاملاً از یکدیگر و سایر گونه‌ها تفکیک شدند. از سوی دیگر، برای گونه‌های *Ae. ovata*، *Ae. triaristata* و *Ae. crassa* تفکیکی مشاهده نشد و جمعیت‌های آن‌ها به صورت مخلوط و در کنار یکدیگر قرار گرفتند. در سمت دیگر نمودار نیز گونه‌های جنس *Triticum* بر اساس ژنوم و سطح پلوئیدی‌شان از یکدیگر تفکیک شدند.

و بیشترین میزان نسبت بازوها و  $A_1$  بودند. از سوی دیگر، گونه‌های *Triticum* به همراه *Ae. speltoides* دارای بیشترین مقادیر طول بازوها، شاخص سانترومری، میزان کروماتین و میزان شکل درصد کلی کروموزوم و کمترین میزان نسبت بازوها و  $A_1$  بودند. پراکنش جمعیت‌ها نشان می‌دهد که گونه‌های *Ae. tauschii* و *Triticum* بیشترین مقادیر DRL و گونه‌های *Aegilops* دارای بیشترین عدم تقارن درون کروموزومی بودند و در نتیجه کاریوتیپ‌های متکامل‌تری داشتند (شکل ۷).



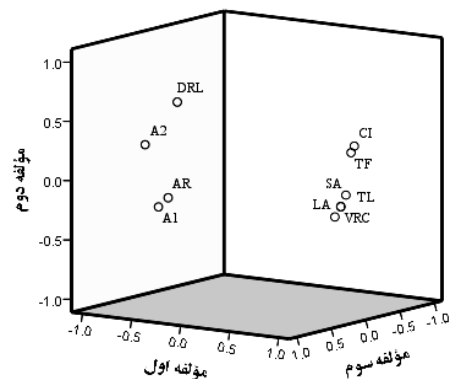
شکل ۷- نمودار پراکنش جمعیت‌های گونه‌های مورد مطالعه بر اساس مؤلفه‌های اول و دوم

جدول ۵- ضرایب بردارهای ویژه، مقادیر ویژه، درصد واریانس و درصد واریانس جمعی سه مؤلفه اصلی اول حاصل از تجزیه به مؤلفه‌های اصلی

صفات	مؤلفه اول	مؤلفه دوم	مؤلفه سوم
LA	۰/۹۴۴	-۰/۲۲۸	۰/۲۱۱
SA	۰/۹۸۸	-۰/۰۵۴	۰/۱۱۴
TL	۰/۹۷۱	-۰/۱۴۵	۰/۱۶۵
AR	-۰/۹۲۱	-۰/۲۸۹	-۰/۰۲۴
CI	۰/۹۳۷	۰/۳۳۶	-۰/۰۸۲
TF	۰/۹۵۵	۰/۲۸۴	-۰/۰۰۹
DRL	-۰/۷۳۸	۰/۵۵۵	۰/۱۰۴
VRC	۰/۹۷۱	-۰/۱۴۵	۰/۱۶۵
A1	-۰/۹۱۴	-۰/۳۴۳	۰/۱۲۷
A2	-۰/۸۱۵	۰/۲۴۰	۰/۴۶۲
مقادیر ویژه	۸/۴۳۵	۰/۸۵۲	۰/۳۵۹
درصد واریانس	۸۴/۳۵	۸/۵۲	۳/۵۹
درصد واریانس جمعی	۸۴/۳۵	۹۲/۸۷	۹۶/۴۶

تنوع بین گونه‌ای نسبت به تنوع درون گونه‌ای نقش بیشتری داشته است. همین تنوع بین گونه‌ای بالا منجر به تفکیک مناسب گونه‌ها شده است.

نتایج حاصل از تجزیه به مؤلفه‌های اصلی شامل ضرایب بردارهای ویژه، مقادیر ویژه، درصد از کل واریانس و درصد واریانس جمعی برای سه مؤلفه استخراج شد (جدول ۵). سه مؤلفه استخراج شده، به ترتیب ۸۴/۳۵، ۸/۵۲ و ۳/۵۹ درصد از کل واریانس موجود بر اساس صفات کاریوتیپی را بیان نمودند و در مجموع ۹۶/۴۶ درصد از تنوع موجود بین جمعیت‌های مورد مطالعه با این سه مؤلفه بیان شد. مقادیر ضرایب بردارهای ویژه در مؤلفه اول نشان داد که صفات  $CI$ ،  $LA$ ،  $TF$ ،  $VRC$ ،  $TL$ ،  $SA$ ، به ترتیب بیشترین نقش مثبت و صفات  $A_1$  و  $AR$  بیشترین نقش منفی را در تشکیل این مؤلفه داشتند. در مؤلفه دوم و سوم به ترتیب DRL و  $A_2$  دارای بیشترین نقش مثبت بودند. در واقع در این مؤلفه، تمامی صفات به جز DRL و در مجموع با توجه به سه مؤلفه اول تمامی صفات در ایجاد تنوع بین جمعیت‌ها نقش داشتند (شکل ۶).



شکل ۶- نمودار سه بعدی پراکنش متغیرها نسبت به مؤلفه‌های استخراج شده

نمودار پراکنش جمعیت‌های مورد بررسی بر اساس دو مؤلفه اول و دوم، آن‌ها را به صورت گروه تفکیک نمود. یک گروه شامل جمعیت‌های *Triticum* و گونه *Ae. speltoides* بود که در سمت راست نمودار تجمع یافتند و گروه دیگر شامل گونه‌های *Aegilops* بود که در سمت چپ قرار گرفتند. مطابق این نتایج، تفکیک گونه‌ها بیشتر از طریق مؤلفه اول صورت گرفت. گونه‌های *Aegilops* دارای کمترین میزان مقادیر طول بازوها، شاخص سانترومری، میزان کروماتین و میزان شکل درصد کلی کروموزوم

نتیجه گیری کلی

مقایسه میانگین صفات کاربوتیپی نشان داد که روند تغییرات صفات در گونه‌های مورد بررسی یکسان بود و اکثر صفات با یک روند خاص گونه‌ها را تفکیک نمودند. مطابق نتایج به دست آمده از تجزیه خوشه‌ای، گونه‌های مورد بررسی در دو کلاستر اصلی *Triticum L.* و *Aegilops L.* و نیز بر اساس شباهت‌های ژنوم تشکیل دهنده‌شان در زیرگروه‌های مختلف تفکیک شدند. از

سوی دیگر، بر اساس نتایج تابع تشخیص، جمعیت‌های گونه‌های *Ae. triuncialis* *Ae. umblulata* *Ae. tauschii* و *T. turgidum* کاملاً تفکیک شدند. به‌طور کلی، تجزیه تابع تشخیص در تشخیص تنوع درون گونه‌ای نتایج بهتری را نسبت به تجزیه خوشه‌ای ارائه نمود.

منابع

- Ahmadian M, Ahmadian-Tehrani P, Omidi M, Davoudi D (2005) Study of intra-specific karyotype variation in *Aegilops triuncialis* at northwest of Iran. *Iranian Journal of Agricultural Science* 36: 969-977 (In Farsi).
- Al-Mashhadani AN, Solimana AS, Al-Shehbaza IA (1978) Karyotype Analysis of Some Diploid *Aegilops* Species Native to Iraq. *Caryologia* 31: 299-303.
- Badaeva ED, Dedkovab OS, Pukhalskiyb VA and Zelenina AV (2012) Cytogenetic comparison of N\_Genome *Aegilops L.* Species. *Russian Journal of Genetics* 48: 522-531.
- Baum BR, Edwards T, Johnson DA (2009) Phylogenetic relationships among diploid *Aegilops* species inferred from 5S rDNA units. *Molecular Phylogenetics and Evolution* 53: 34-44.
- Borem A, Fritch-neto R (2014) *Biotechnology and plant breeding*. Academic Press is an imprint of Elsevier Pp19-45.
- Ehtemam MH, Rahiminejad MR, Saeidi H, Ebrahim F (2014) Phylogenetic comparison of the A genome using karyotype analysis in some *Triticum* species. *Taxonomy and Biosystematics* 21: 11-20.
- Feridooni L, Mehrabi AA, Safari H (2017) Study of karyotypic relationships of D, S and U genomes of *Aegilops* with A genome of *Triticum*. *Journal of Genetics* 3: 397-409 (In Farsi).
- Golovnina KA, Glushkov SA, Blinov AG, Mayoro VI, Adkison LR, Goncharov NP (2007) Molecular phylogeny of the genus *Triticum L.* *Plant Systematics and Evolution* 264: 195-216.
- Ghorbani-Sini F, Arzani A (2015) Karyological studies in *Triticum monococcum* subsp. *aegilopoides* and *Aegilops cylindrica* species grown wild pairwise in west Iran. *Rostaniha* 16: 164-173 (In Farsi).
- Hilu KW (2004) Phylogenetics and chromosomal evolution in the Poaceae (Grasses). *Australian Journal of Botany* 52: 13-22
- Jaffar\_Aghaei M, Naghavi MR, Talaeei AR, Omidi M, Mozafari J (2007) A study of chromosome homology between three Iranian *Aegilops* species with D genome and bread wheat (*T. aestivum*). *Iranian Journal of Rangelands*
- Forests Plant Breeding and Genetic Research* 2: 95-112 (In Farsi).
- Jafar-Aghaei M, Vaezi Sh, Ebrahimi MA, Tavakoli M (2013) Karyotype characteristics in some species from Iranian *Aegilops* collection. *Iranian Journal of Field Crop Science* 44: 441-453 (In Farsi).
- Karimafshar N, Dashti H, Mohamadi mirik AA, Arab bagi M (2015) Cytogenetical and morphological diversity of wild types of wheat. *Modern Genetics Journal* 11: 437-448 (In Farsi).
- Karimzadeh Gh, Ashkani S, Ahmadian-Tehrani P, Davoudi D, Mirza-Ghaderi Gh (2008) Cytogenetic studies of some Iranian wild wheat species (*Aegilops*) and OR banding. *Iranian Journal of Field Crop Science* 2: 305-313 (In Farsi).
- Kharazian N (2008) Chemotaxonomics studies on *Aegilops L.* (Poaceae) in Iran. *Pakistan Journal of Biological Sciences* 11: 1204-1211.
- Kilian B, Mammen K, Millet E, Sharma ., Graner A, Salamini F, Hammer KOzkan H (2011) *Aegilops*, Wild Crop Relatives, Genomic and Breeding Resources, Cereals. Springer 1-76.
- Levan A, Fedga K, Sandberg AA (1964) Nomenclature for centromeric position on chromosomes. *Hereditas* 52: 201.
- Linnaeus C (1753) *Species plantarum*, exhibentes plantas rite cognitatas, ad genera relatas, cum differentiis specificis, nominibus trivialibus, synonymis selectis, locis natalibus, secundum systema sexuale digestas 2: 561-1200.
- Romero-Zarco C (1986) A new method for estimating karyotype asymmetry. *Taxon* 35: 526-530.
- Sasanuma T, Chabane K, Endo TR, Valkoun J (2004) Characterization of genetic variation in and phylogenetic relationships among diploid *Aegilops* species by AFLP, incongruity of chloroplast and nuclear data. *Theoretical and Applied Genetics* 108: 612-618.
- Sliai AM, Amer SAM (2011) Contribution of chloroplast DNA in the biodiversity of some *Aegilops* species. *African Journal of Biotechnology* 10: 2212-2215.
- Solouki M, Emam Jomeh AA, Taheri N, Tahernezhad Z, Sahebi M (2007) Determination of genetic diversity in populations of Iranian *Aegilops tauschii* using karyotypic studying. *Modern Genetics Journal* 2: 43-51.

Stebbins GL (1971) Chromosomal evolution in higher plants. Edward Arnold Publisher, London 216 p  
Van-Slageren MW (1994) Wild wheats, a monograph of *Aegilops* L. and *Amblyopyrum* (Jaub. & Spach) Eig (Poaceae). Joint publication of ICARDA, Aleppo, Syria and Wageningen Agricultural University, The Netherlands.

Zhang W, Qu LJ, Gu H, Gao W, Liu M, Chen J, Chen Z (2002) Studies on the origin and evolution of tetraploid wheats based on the internal transcribed spacer (ITS) sequences of nuclear ribosomal DNA. *Theoretical and Applied Genetics* 104: 1099-1106.